



## 4A、700V N沟道增强型场效应管

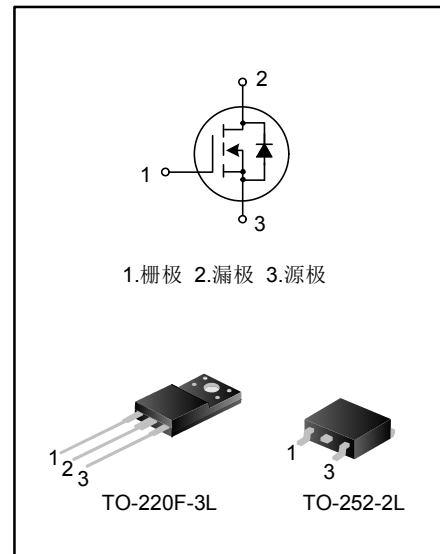
### 描述

SVF4N70F/D N 沟道增强型高压功率 MOS 场效应晶体管采用士兰微电子 F-Cell™ 平面高压 VDMOS 工艺技术制造。先进的工艺及元胞设计结构使得该产品具有较低的导通电阻、优越的开关性能及很高的雪崩击穿耐量。

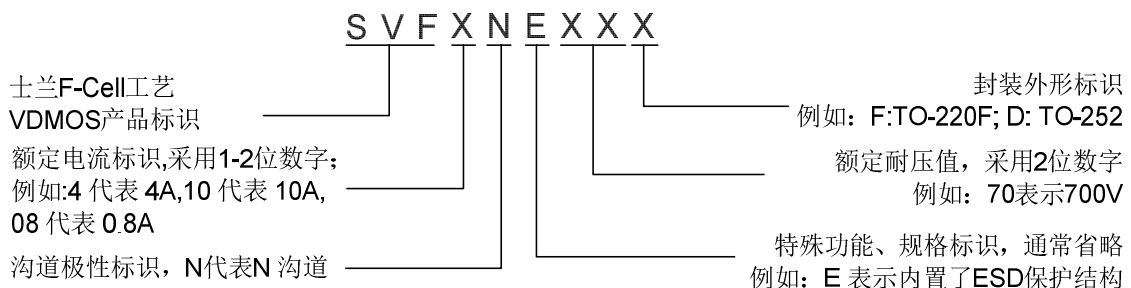
该产品可广泛应用于 AC-DC 开关电源，DC-DC 电源转换器，高压 H 桥 PWM 马达驱动。

### 特点

- ◆ 4A, 700V,  $R_{DS(on)}(\text{典型值})=2.5\Omega @ V_{GS}=10V$
- ◆ 低栅极电荷量
- ◆ 低反向传输电容
- ◆ 开关速度快
- ◆ 提升了 dv/dt 能力



### 命名规则



### 产品规格分类

| 产品名称       | 封装形式       | 打印名称     | 环保等级 | 包装 |
|------------|------------|----------|------|----|
| SVF4N70F   | TO-220F-3L | SVF4N70F | 无铅   | 料管 |
| SVF4N70DTR | TO-252-2L  | SVF4N70D | 无卤   | 编带 |

极限参数(除非特殊说明,  $T_c=25^{\circ}\text{C}$ )

| 参数名称  | 符号        | 参数范围     |          | 单位                    |
|---|-----------|----------|----------|-----------------------|
|   |           | SVF4N70F | SVF4N70D |                       |
| 漏源电压  | $V_{DS}$  | 700      |          | V                     |
| 栅源电压  | $V_{GS}$  | $\pm 30$ |          | V                     |
| 漏极电流<br>$T_c=25^{\circ}\text{C}$                                      | $I_D$     | 4.0      |          | A                     |
| $T_c=100^{\circ}\text{C}$   |           | 2.53     |          |                       |
| 漏极脉冲电流  | $I_{DM}$  | 16.0     |          | A                     |
| 耗散功率 ( $T_c=25^{\circ}\text{C}$ )<br>- 大于 $25^{\circ}\text{C}$ 每摄氏度减少 | $P_D$     | 33       | 77       | W                     |
|   |           | 0.26     | 0.62     | W/ $^{\circ}\text{C}$ |
| 单脉冲雪崩能量 (注 1)   | $E_{AS}$  | 242      |          | mJ                    |
| 工作结温范围  | $T_J$     | -55~+150 |          | $^{\circ}\text{C}$    |
| 贮存温度范围  | $T_{stg}$ | -55~+150 |          | $^{\circ}\text{C}$    |

## 热阻特性

| 参数名称     | 符号              | 参数范围     |          | 单位                          |
|----------|-----------------|----------|----------|-----------------------------|
|          |                 | SVF4N70F | SVF4N70D |                             |
| 芯片对管壳热阻  | $R_{\theta JC}$ | 3.79     | 1.62     | $^{\circ}\text{C}/\text{W}$ |
| 芯片对环境的热阻 | $R_{\theta JA}$ | 62.5     | 62.0     | $^{\circ}\text{C}/\text{W}$ |

电气参数(除非特殊说明,  $T_c=25^{\circ}\text{C}$ )

| 参数名称     | 符号           | 测试条件   | 最小值 | 典型值    | 最大值       | 单位            |
|----------|--------------|--|-----|--------|-----------|---------------|
| 漏源击穿电压   | $BV_{DSS}$   | $V_{GS}=0\text{V}, I_D=250\mu\text{A}$                               | 700 | --     | --        | V             |
| 漏源漏电流    | $I_{DSS}$    | $V_{DS}=700\text{V}, V_{GS}=0\text{V}$                               | --  | --     | 1.0       | $\mu\text{A}$ |
| 栅源漏电流    | $I_{GSS}$    | $V_{GS}=\pm 30\text{V}, V_{DS}=0\text{V}$                            | --  | --     | $\pm 100$ | nA            |
| 栅极开启电压   | $V_{GS(th)}$ | $V_{GS}=V_{DS}, I_D=250\mu\text{A}$                                  | 2.0 | --     | 4.0       | V             |
| 导通电阻     | $R_{DS(on)}$ | $V_{GS}=10\text{V}, I_D=2.0\text{A}$                                 | --  | 2.5    | 3.0       | $\Omega$      |
| 输入电容     | $C_{iss}$    | $V_{DS}=25\text{V}, V_{GS}=0\text{V}, f=1.0\text{MHz}$               | --  | 497.67 | --        | pF            |
| 输出电容     | $C_{oss}$    |  | --  | 56.43  | --        |               |
| 反向传输电容   | $C_{rss}$    |  | --  | 2.36   | --        |               |
| 开启延迟时间   | $t_{d(on)}$  | $V_{DD}=350\text{V}, R_G=25\Omega, I_D=4.0\text{A}$<br>(注 2, 3)      | --  | 15.73  | --        | ns            |
| 开启上升时间   | $t_r$        |  | --  | 34.40  | --        |               |
| 关断延迟时间   | $t_{d(off)}$ |  | --  | 24.93  | --        |               |
| 关断下降时间   | $t_f$        |  | --  | 23.60  | --        |               |
| 栅极电荷量    | $Q_g$        | $V_{DD}=560\text{V}, I_D=4.0\text{A}, V_{GS}=10\text{V}$<br>(注 2, 3) | --  | 10.34  | --        | nC            |
| 栅极-源极电荷量 | $Q_{gs}$     |  | --  | 3.15   | --        |               |
| 栅极-漏极电荷量 | $Q_{gd}$     |  | --  | 3.90   | --        |               |



## 源-漏二极管特性参数

| 参数名称     | 符号       | 测试条件                       | 最小值 | 典型值    | 最大值  | 单位      |
|----------|----------|----------------------------|-----|--------|------|---------|
| 源极电流     | $I_S$    | MOS 管中源极、漏极构成的反偏 P-N 结     | --  | --     | 4.0  | A       |
| 源极脉冲电流   | $I_{SM}$ |                            | --  | --     | 16.0 |         |
| 源-漏二极管压降 | $V_{SD}$ | $I_S=4.0A, V_{GS}=0V$      | --  | --     | 1.4  | V       |
| 反向恢复时间   | $T_{rr}$ | $I_S=4.0A, V_{GS}=0V,$     | --  | 463.85 | --   | ns      |
| 反向恢复电荷   | $Q_{rr}$ | $dI_F/dt=100A/\mu s$ (注 2) | --  | 2.16   | --   | $\mu C$ |

注:

1.  $L=30mH, I_{AS}=3.72A, V_{DD}=100V, R_G=25\Omega$ , 开始温度  $T_J=25^{\circ}C$ ;
2. 脉冲测试: 脉冲宽度 $\leq 300\mu s$ , 占空比 $\leq 2\%$ ;
3. 基本上不受工作温度的影响。



## 典型特性曲线

图1. 输出特性

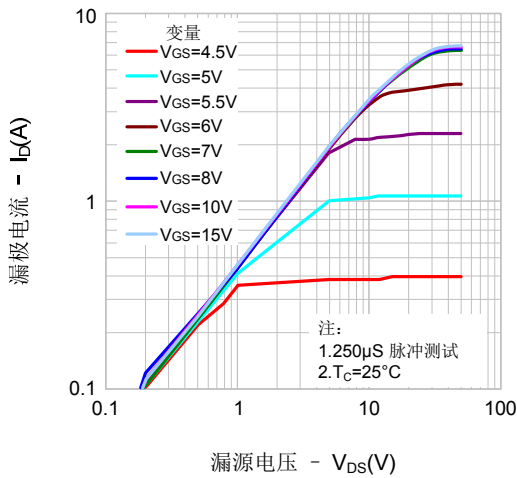


图2. 传输特性

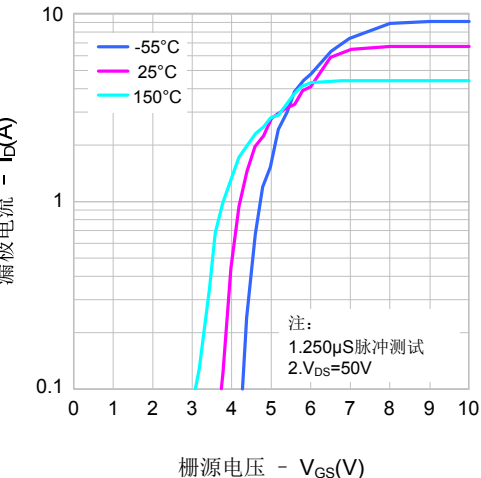


图3. 导通电阻vs.漏极电流

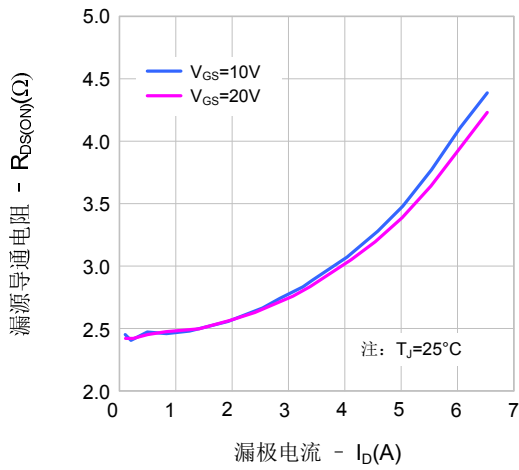


图4. 体二极管正向压降vs. 源极电流、温度

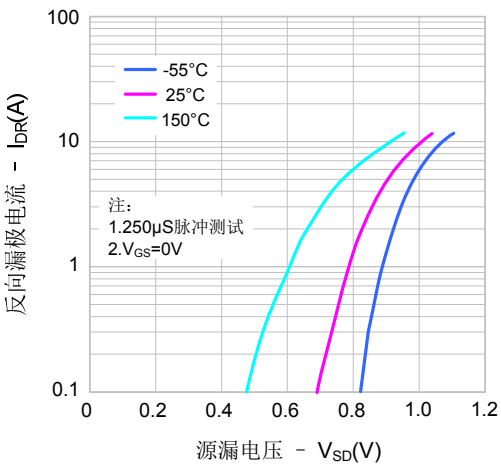


图5. 电容特性

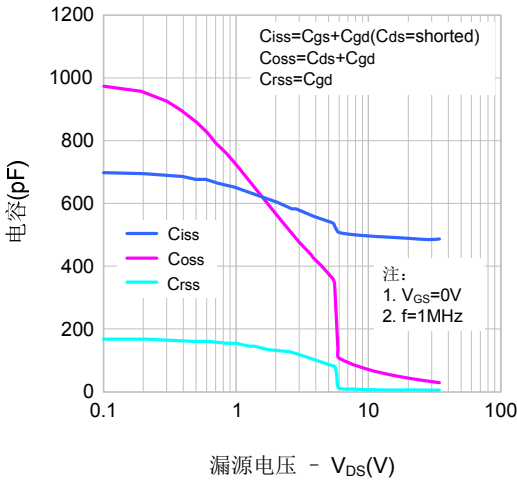
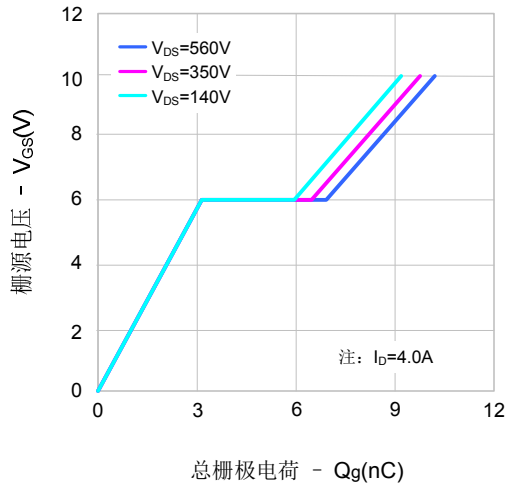


图6. 电荷量特性





## 典型特性曲线（续）

图7. 击穿电压vs.温度特性

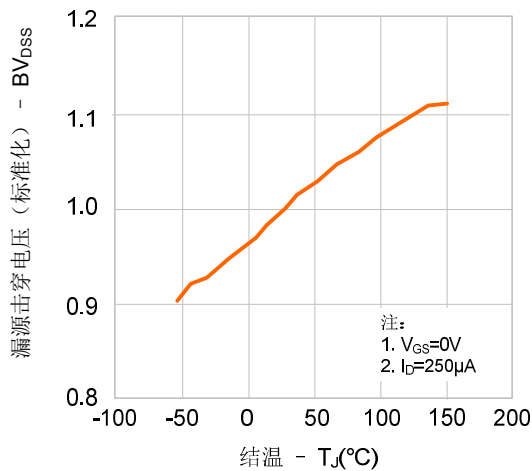


图8. 导通电阻vs.温度特性

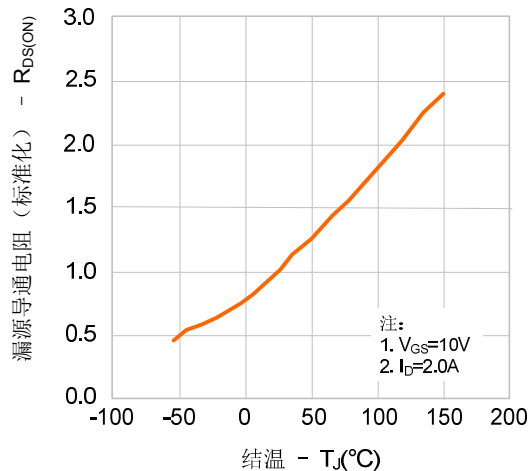


图9-1. 最大安全工作区域(SVF4N70F)

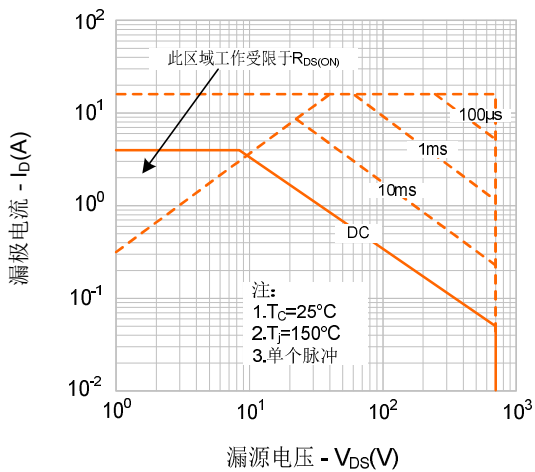


图9-2. 最大安全工作区域(SVF4N70D)

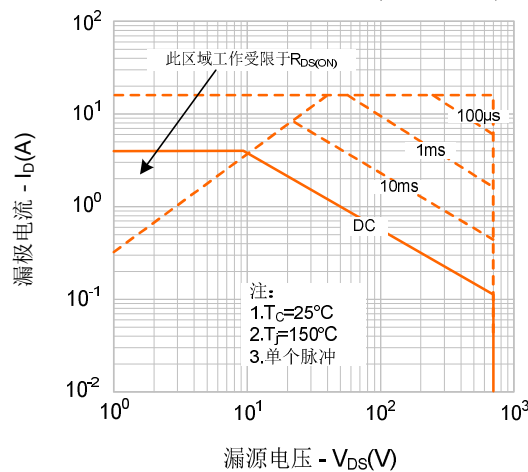
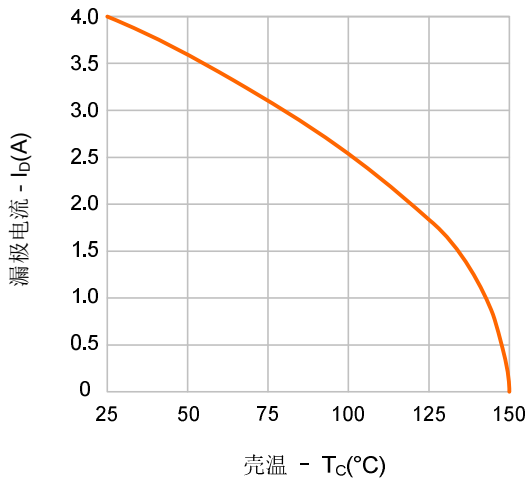


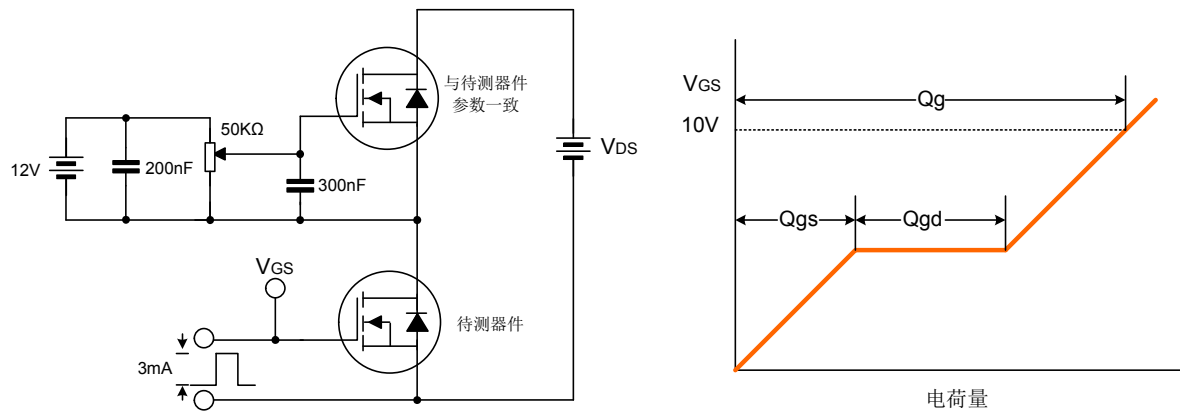
图10. 最大漏极电流vs.壳温



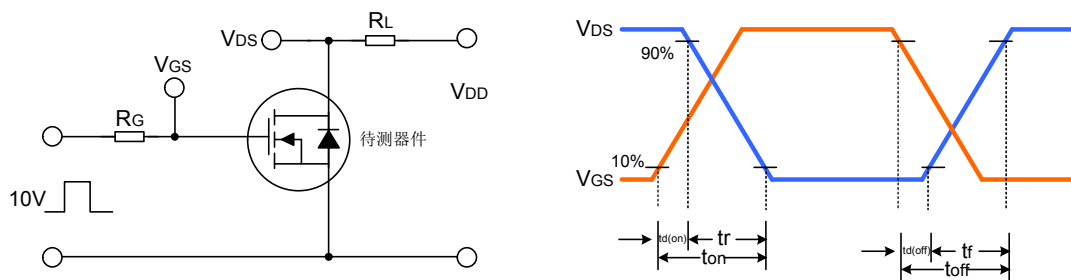


## 典型测试电路

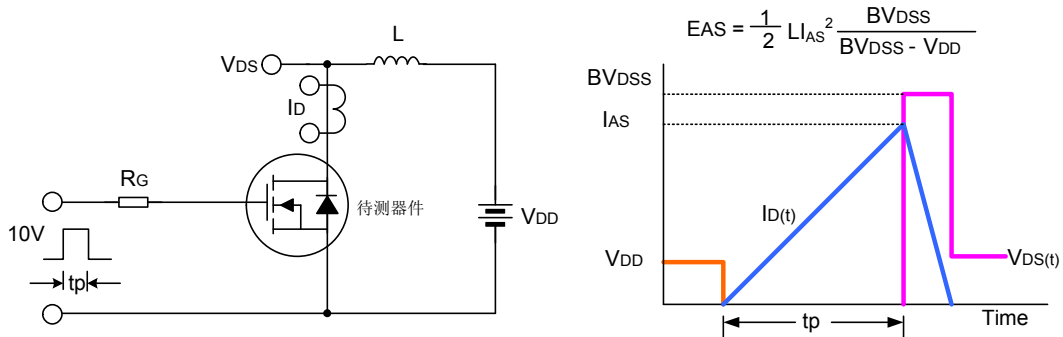
栅极电荷量测试电路及波形图



开关时间测试电路及波形图



EAS测试电路及波形图

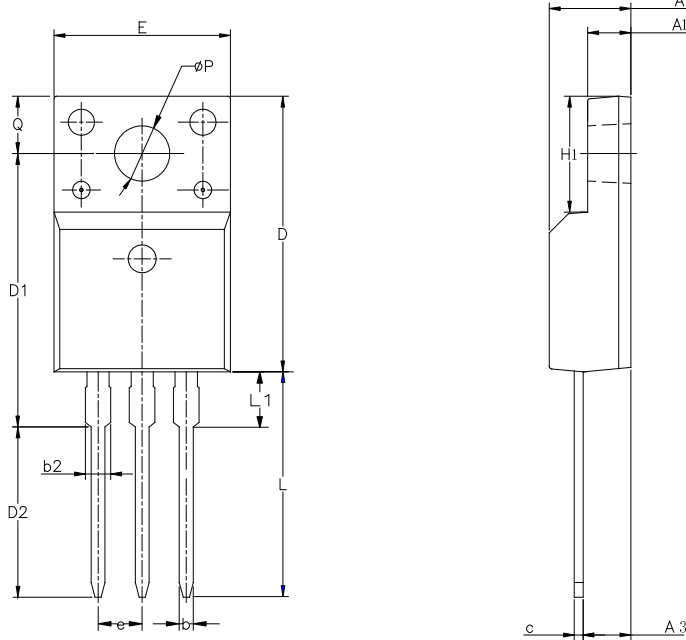




## 封装外形图

TO-220F-3L

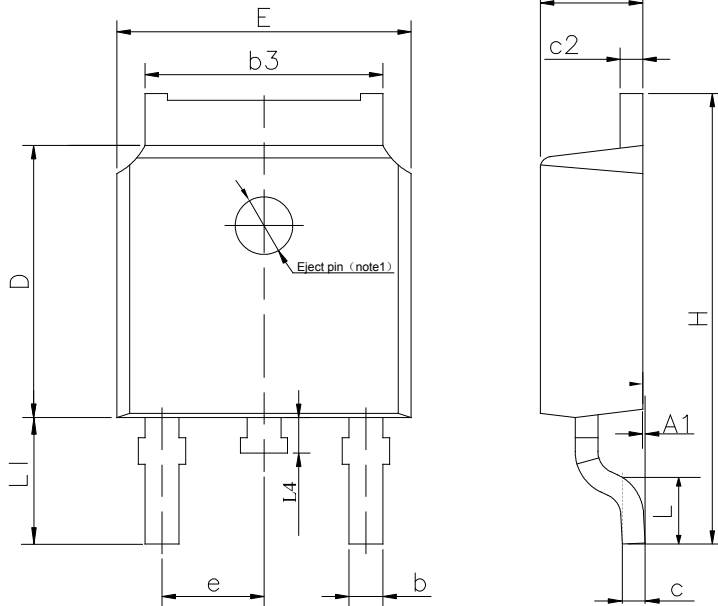
单位：毫米



| SYMBOL   | MIN   | NOM     | MAX   |
|----------|-------|---------|-------|
| A        | 4.42  | 4.70    | 5.02  |
| A1       | 2.30  | 2.54    | 2.80  |
| A3       | 2.50  | 2.76    | 3.10  |
| b        | 0.70  | 0.80    | 0.90  |
| b2       | —     | —       | 1.47  |
| c        | 0.35  | 0.50    | 0.65  |
| D        | 15.25 | 15.87   | 16.25 |
| D1       | 15.30 | 15.75   | 16.30 |
| D2       | 9.30  | 9.80    | 10.30 |
| E        | 9.73  | 10.16   | 10.36 |
| e        |       | 2.54BCS |       |
| H1       | 6.40  | 6.68    | 7.00  |
| L        | 12.48 | 12.98   | 13.48 |
| L1       | /     | /       | 3.50  |
| $\phi P$ | 3.00  | 3.18    | 3.40  |
| Q        | 3.05  | 3.30    | 3.55  |

TO-252-2L

单位：毫米



| SYMBOL | MIN  | NOM     | MAX   |
|--------|------|---------|-------|
| A      | 2.10 | 2.30    | 2.50  |
| A1     | 0    | ---     | 0.127 |
| b      | 0.66 | 0.76    | 0.89  |
| b3     | 5.10 | 5.33    | 5.46  |
| c      | 0.45 | ---     | 0.65  |
| c2     | 0.45 | ---     | 0.65  |
| D      | 5.80 | 6.10    | 6.40  |
| E      | 6.30 | 6.60    | 6.90  |
| e      |      | 2.30TYP |       |
| H      | 9.60 | 10.10   | 10.60 |
| L      | 1.40 | 1.50    | 1.70  |
| L1     |      | 2.90REF |       |
| L4     | 0.60 | 0.80    | 1.00  |

NOTE1 : There are two conditions for this position: has an eject pin or has no eject pin.

**声明：**

- 士兰保留说明书的更改权，恕不另行通知！客户在下单前应获取最新版本资料，并验证相关信息是否完整和最新。
- 任何半导体产品特定条件下都有一定的失效或发生故障的可能，买方有责任在使用 Silan 产品进行系统设计和整机制造时遵守安全标准并采取安全措施，以避免潜在失败风险可能造成人身伤害或财产损失情况的发生！
- 产品提升永无止境，我公司将竭诚为客户提供更优秀的产品！

---

产品名称: **SVF4N70F/D**

文档类型: **说明书**

版 权: **杭州士兰微电子股份有限公司**

公司主页: **<http://www.silan.com.cn>**

---

版 本: **2.0**

修改记录:

1. 删除 TO-252-2L 料管包装
  2. 删除 TO-220F-3L(2)封装外形图
- 

版 本: **1.9**

修改记录:

1. 修改  $R_{DS(on)}$  数值并且更新 SOA 曲线图
- 

版 本: **1.8**

修改记录:

1. 修改 TO-220F-3L 封装信息
  2. 修改 TO-252-2L 封装信息
- 

版 本: **1.7**

修改记录:

1. 修改热阻特性
- 

版 本: **1.6**

修改记录:

1. 修改产品规格分类
- 

版 本: **1.5**

修改记录:

1. 修改 MOS 管符号的示意图
- 

版 本: **1.4**

修改记录:

1. 增加 TO-252-2L 封装
- 

版 本: **1.3**

修改记录:

1. 修改“封装外形图”
- 

版 本: **1.2**

修改记录:

1. 修改“源-漏二极管特性参数”
- 

版 本: **1.1**

修改记录:

1. 对换 TO-220F-3L(1)和 TO-220F-3L(2)尺寸图的顺序
- 

版 本: **1.0**

修改记录:

1. 原版
-

# X-ON Electronics

Largest Supplier of Electrical and Electronic Components

***Click to view similar products for MOSFET category:***

***Click to view products by Silan manufacturer:***

Other Similar products are found below :

[614233C](#) [648584F](#) [MCH3443-TL-E](#) [MCH6422-TL-E](#) [FDPF9N50NZ](#) [FW216A-TL-2W](#) [FW231A-TL-E](#) [APT5010JVR](#) [NTNS3A92PZT5G](#)  
[IRF100S201](#) [JANTX2N5237](#) [2SK2464-TL-E](#) [2SK3818-DL-E](#) [FCA20N60\\_F109](#) [FDZ595PZ](#) [STD6600NT4G](#) [FSS804-TL-E](#) [2SJ277-DL-E](#)  
[2SK1691-DL-E](#) [2SK2545\(Q,T\)](#) [D2294UK](#) [405094E](#) [423220D](#) [MCH6646-TL-E](#) [TPCC8103,L1Q\(CM](#) [367-8430-0972-503](#) [VN1206L](#)  
[424134F](#) [026935X](#) [051075F](#) [SBVS138LT1G](#) [614234A](#) [715780A](#) [NTNS3166NZT5G](#) [751625C](#) [873612G](#) [IRF7380TRHR](#)  
[IPS70R2K0CEAKMA1](#) [RJK60S3DPP-E0#T2](#) [RJK60S5DPK-M0#T0](#) [APT5010JVFR](#) [APT12031JFLL](#) [APT12040JVR](#) [DMN3404LQ-7](#)  
[NTE6400](#) [JANTX2N6796U](#) [JANTX2N6784U](#) [JANTXV2N5416U4](#) [SQM110N05-06L-GE3](#) [SIHF35N60E-GE3](#)